

利用高温超导变压器的小型、轻量交流电源及其状态监视系统的开发

邓隐北，谢志平，赖正泷，刁卉 编译

赣州诚正钕铁硼永磁材料分厂

1 前言

作为能有利于实现低碳社会的设备，并且又作为智能电网的主要构成设备，期望着将高温超导电力设备的实用化。对于高温超导设备而言，主要是利用了高温超导线。即使是市售的高温超导线，也可在液氮温度和自身的磁场下，电阻为零在 1mm^2 断面积上流过 200A 以上的电流。这一电流密度，对比一般导线使用良好的铜线的电流密度，将要大 100 倍以上。因此，利用高温超导线可望实现小型高效的电力设备。

为了对这种设备进行开发，必须在设计阶段充分掌握高温超导线的通电特性，要掌握这一通电特性的试验，必须具有能通过 200A 以上的大电流电源。考虑到今后超导线的发展及多根线束电缆的使用，在确保 1KA 通电的场合下，市售特殊的交流电源中，一般为体积约 0.7m^3 、重量约 400kg，由于设置场所的限制及设置后的难于移动等，其利用性的弊端大，也难于引入到大学的研究室中，进而妨碍了高温超导电力设备的开发。

这里，对利用单相高温超导变压器的小型、轻量又高效的交流大电流电源进行了开发。同一变压器的一次侧接入逆变器（inverter）等小电流电源，二次侧能获得大电流结构的电源。在现阶段，实现了体积 0.02m^3 、重量 16kg 的电源通过 500A 的电流。

而且，本变压器中所用的高温超导线，由于线材的时效变化（老化）和冷却的不合适等原因，通电中会出现电阻。要在细线上通过大电流。有电阻的地方将产生过大的发热，引发烧损等事故（该问题不限于本变压器，也是超导设备上普遍存在的问题）。为确保变压器的安全，应采取相应的对策很重要。具体说，监视运行中的变压器，产生电阻时必须迅速的进行保护不至于事故发生。为此，对于电阻的产生应正确无误地检测出来。进一步在开发的变压器中，

掌握好电阻产生的原因，同时确定电阻产生的位置，设计阶段就要采取有效措施，以防患于未然。如果能够将超导线的电压端子多个安装，通过各端子间电压的计测，则可计测电阻的产生及其位置。但是，超导线上如加有绝缘覆盖，安装电压端子时必须清除绝缘覆盖层，这将导致线圈的绝缘特性降低。

这里，以上述高温超导变压器作为对象，提出了超导线上采取非接触的超导线电压计测方法，根据本方法开发了电阻产生状态的监视。

本文对有关利用以上高温超导变压器的小型、轻量交流电源及〔状态监视系统〕予以介绍。

2 利用高温超导变压器的小型轻量交流电源

2.1 电源的设计

电源的组成如图 1 所示，一次侧、二次侧都是利用高温超导线圈的高温超导变压器，在其一次侧连接小电流电源，连接到二次侧的测定对象的超导试样，则为流过大电流的电源结构。

图 2 为高温超导变压器的概略图，图 3 是其外观图。将高温超导线以圆筒型线圈（solenoid）形状绕制在 GFRP（玻璃纤维增强塑料）的线圈架（bobbin）上。并将直径不同的两个线圈作为一次与二次线圈，同轴上组合在一起，再穿过铁芯，这就组成了高温超导变压器。变压器的一次线圈采用住友电工公司的 Bi2223 高温超导 DI-BSCCO、S 型 1 组；二次线圈为相同规格，H 型 5 根为一束的电缆。绕制成圆筒形状的线圈，因为能降低垂直施加于线圈的本身磁场，以便抑制临界电流（电阻为零时流过电流的最大值）的降低，并能减小交流损耗（流过交流电流时，超导线上产生的损耗）。而且同轴的组合还可减小磁场的泄漏。

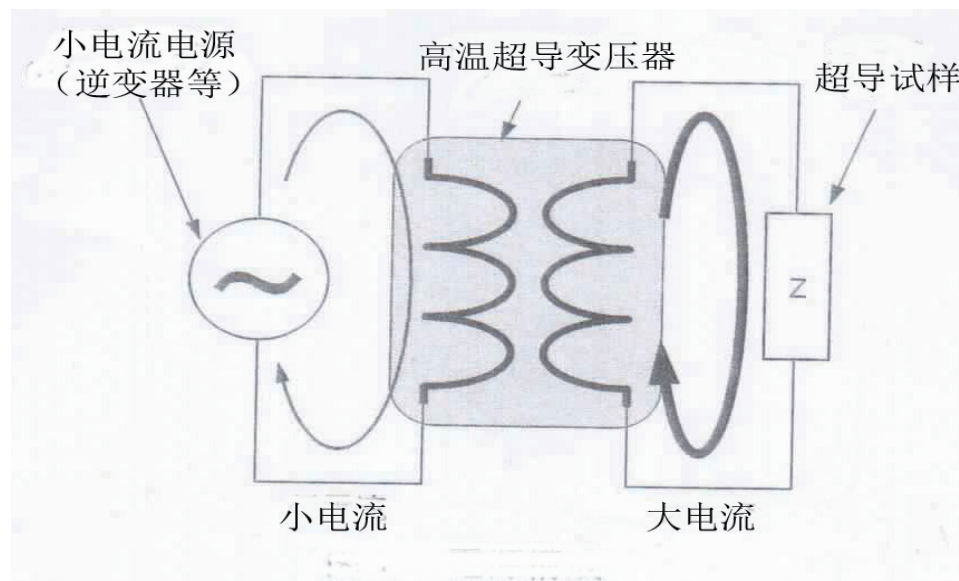


图 1 电源的组成

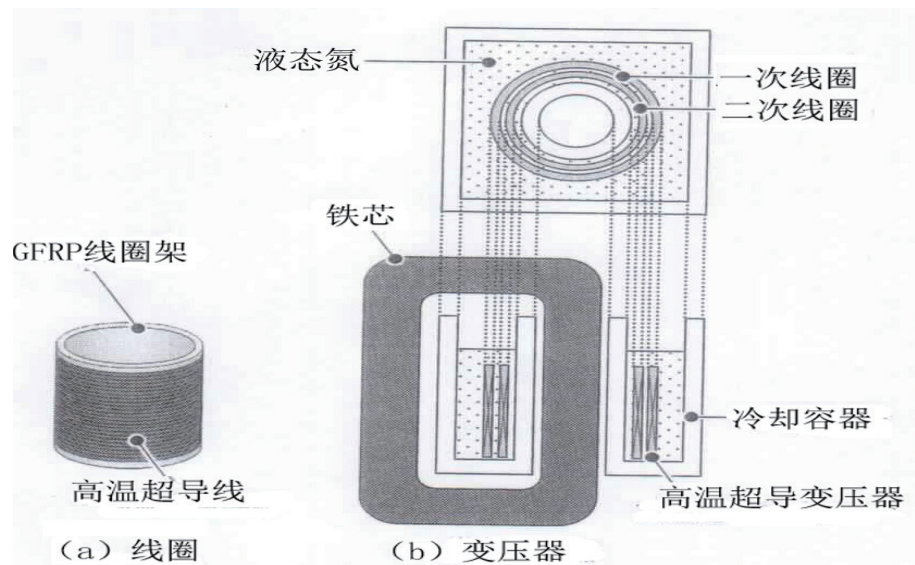


图 2 为高温超导变压器的概略图

冷却容器,是在铁芯插入部贯穿形状的泡沫苯乙烯(德文 styrol)容器。利用液态氮仅对变压器的线圈部分进行冷却。因铁芯为置于室温空间的结构,提高了抑制铁损的冷却效率。泡沫苯乙烯使用了发泡倍率高30倍的材料,具有高的强度和隔热性。

所制作变压器的各项参数列于表1。设计是一次侧30A的通电,而二次侧能达到500A。本变压器加上一次侧电源的总体积为0.02m³,重量16kg。与市售6V/500A输出的电源比较,约达到1/12的尺寸和重量。

表1 高温超导变压器的各项参数

	一次线圈	二次线圈
内径	100 mm	8 mm
外径	110 mm	89 mm
高度	100 mm	100 mm
匝数	83	5
容量	100 V / 30 A	6 V / 500 A

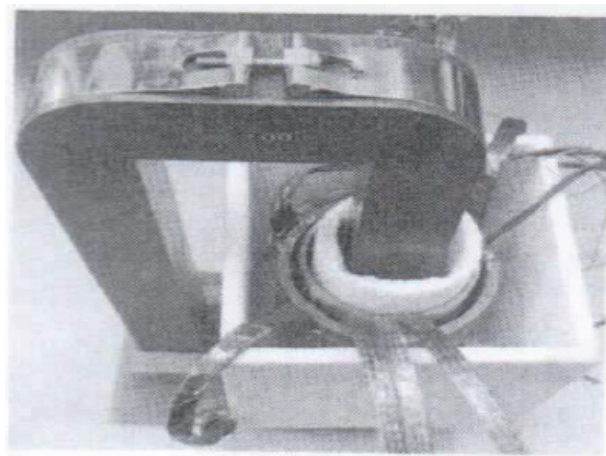


图 3 高温超导变压器的外观

2.2 通电试验

线路的连接如图 1 所示,由一次侧的滑动变压器(slide transformer, 也即自耦变压器)通电 60Hz、30A 时,其通电的波形示于图 4。当如图 4 (a) 那样给一次侧通电时,已确认得到了图 4 (b) 那样二次侧无畸变的 60Hz、500A 良好的通电特性。

现在,一方面进行变压器的效率测定等,一方面进行由 1KA 级电源优化设计构成的全部开发。

3 状态监视系统

3.1 非接触式电压计测法

为了检测变压器线圈中电阻的产生及其产生位置,作

为非接触超导线计测超导线电压的方法。提出了由图 5 所示电容器型电压端子(以下,简称电容器端子)的计测方法。图 5 右边所示为超导线断面图。这样的超导线覆盖着绝缘层。为了电压计测,电压端子一旦挂上焊锡,则一定要清除绝缘覆盖层,线圈的绝缘特性便会降低。因此在图 5 的线圈表面上贴付 2 枚导电片,并将其连接到外接的电容器上。此时,在贴付导电片的地方,因形成了导电片与超导线夹入绝缘覆盖层的结构,故形成了平行平板型电容器。导电片上形成的电容器的各静电容量为 C_1 、 C_2 , 外接电容器的静电容量为 C_0 , 将外接电容器的电压表示为 v_C , 在两枚导电片之间的超导线电压 v 则由下式决定

$$v = \frac{C_1 C_2 + C_1 C_0 + C_2 C_0}{C_1 C_2} v_C = \alpha v_C \quad \dots (1)$$

也就是说,由于电容器的分压,就可以计测出超导线的电压。本方法积极有效的利用了绝缘覆盖层,可以非接触超导线的方式计测电压。而且,按照需要能外接简单的导电片,故非常方便。

此外,由导电片形成电容器的实质的静电容量,相对于电阻产生的位置其电容量小,故利用这点就可同时确定位置。图 6 所示为电容器端子安装部位的放大图。这里,考虑电阻产生于导电片间或者导电片底下的场合。在导电片之间产生时,式(1)成立;另一方面,在导电片底下产生时,电压的关系式如下:

式中,各参数表示为:

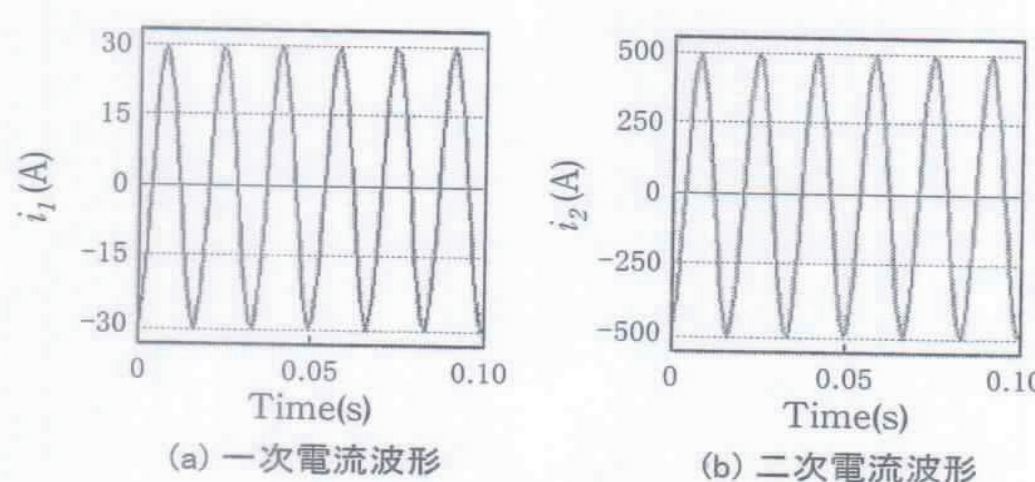


图 4 高温超导变压器的输入 / 输出电流波形

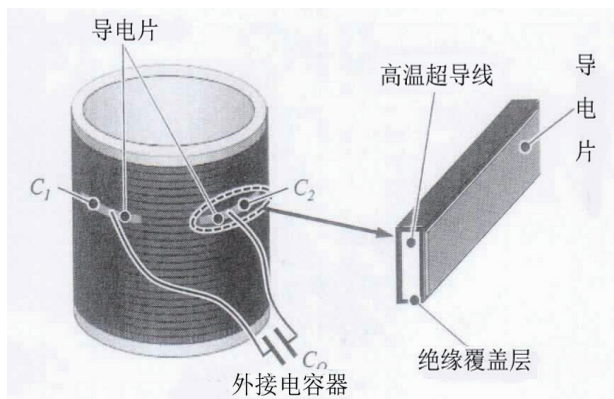


图 5 电容器型的电压端子

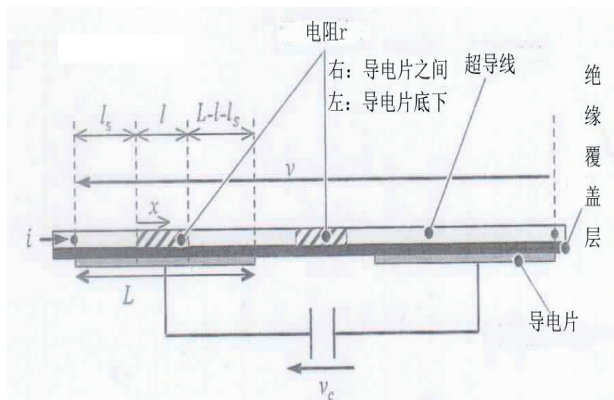


图 6 电容器端子安装位置的放大图

$$v = \alpha v_{c34} + \left\{ \frac{L-l-l_s}{L} r(l) + \frac{1}{L} \int_0^l r(x) dx \right\} i \quad \dots (2)$$

L —导电片的长度 (m)

l —电阻产生部位的长度 (m)

l_s —从导电片左端到电阻部左端的长度 (m)

x —从电阻部左端的任意距离 (m)

$r(x)$ —在 x 段的电阻 (Ω)

i —通电电流 (A)

(2) 式还考虑到电压的符号

$$|V| > |aVc| \dots (3)$$

总之，超导线相同尺寸的情况下，尽管电压 V 在导电片底下产生时， $|aVc|$ 也小。

3.2 电压检测实验

利用上节的特性，横过高温超导线圈安装如图 7 所示的 2 组电容器端子，在同图的 A-E 5 个区域上，无论在哪一个产生电阻时均得到以下的关系

A : $ \alpha_{34} v_{c34} = 0$	… (4)
B : $ \alpha_{12} v_{c12} > \alpha_{34} v_{c34} $	
C : $ \alpha_{12} v_{c12} = \alpha_{34} v_{c34} $	
D : $ \alpha_{12} v_{c12} < \alpha_{34} v_{c34} $	
E : $ \alpha_{12} v_{c12} = 0$	

这里，各个参数如下：

C_1-C_4 —由导电片形成电容器的静电容量

C_{012} 、 C_{034} —外接电容器的静电容量

v_{c12} 、 v_{c34} —外接电容器的电压

$$\alpha_{12} = \frac{C_1 C_2 + C_1 C_{012} + C_2 C_{012}}{C_1 C_2} \quad \dots (5)$$

$$\alpha_{34} = \frac{C_3 C_4 + C_3 C_{034} + C_4 C_{034}}{C_3 C_4} \quad \dots (6)$$

在 A 区段一旦产生电阻，测定 v_{c34} 的端子上因处于测定范围外， $v_{c34}=0$ 。在 B 区段，测定 v_{c12} 的端子在导电片之间，测定 v_{c34} 的端子在导电片的底下，故 $|\alpha_{12} v_{c12}| > |\alpha_{34} v_{c34}|$ 。在 C 区段，无论哪个端子都

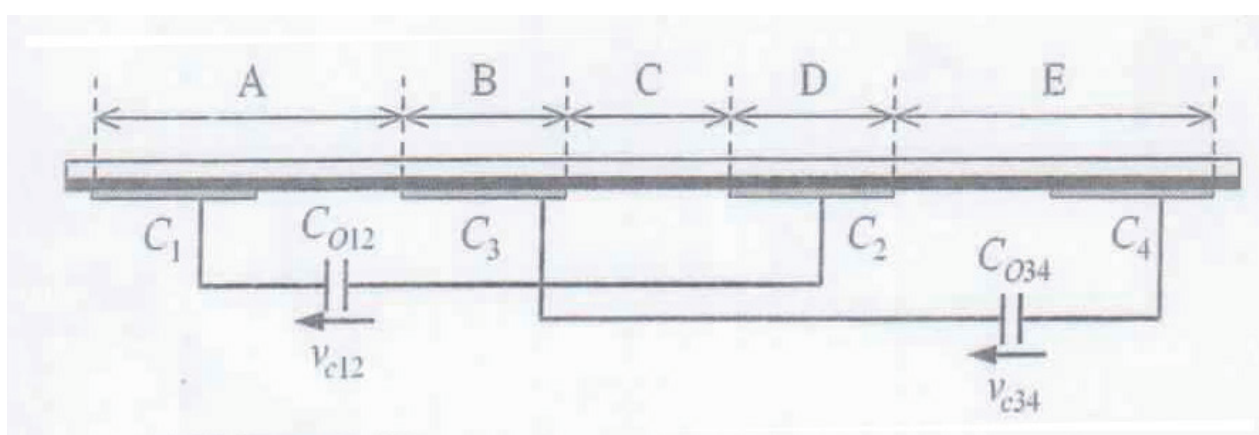


图 7 与 2 组电容器端子对应的区段

在导电片之间，故 $|a_{12}v_{C12}| = |a_{34}v_{C34}|$ 。在 D 和 E 区段，分别与 B 和 A 区段相同。所以，按照这 2 个电压的大小关系，在 A--E 的 5 个区段中，则可判别哪个区段产生了电阻。

表2 试验用Bi2223高温超导线圈的参数

内径	140 mm
外径	150 mm
高度	230 mm
匝数	28
临界电流	121 A

这里，由实验进行了验证。表 2 所列 Bi2223 (DI-BSCCO) H 型试验用高温超导线圈的 1--2 匝安装了图 7 所示的电容器端子，在液态氮中一面通电 60Hz、117A 的电流，一面将加热器安装于 A--E 各区段使升温；使在各区段产生电阻，各电容器的参数列于表 3。

表3 各电容器的参数

外接电容器C ₀₁₂ , C ₀₃₄	100 nF
导电片电容器	C1 0.179 nF
	C2 0.182 nF
	C3 0.189 nF
	C4 0.150 nF
导电片长	100 mm
导电片宽	4.2 mm
导电片的间隔	100 mm

表 4 列出试验结果显示了从大的方向的电压实效值达到 33mV，也显示了在这一时刻另一方向的电压实效值。

表4 电压测定结果

	A	B	C	D	E
$ \alpha_{C12} v_{C12} $ (mV)	33	33	33	20	0
$ \alpha_{C34} v_{C34} $ (mV)	0	30	33	33	33

同表格中的电压大小关系与式 (4) 是一致的。从而，按照本方法，通过 2 个电压的大小关系对比，可检测出电阻的产生及其产生位置的同时确定。

把电压端子直接挂锡焊接在超导线上，对 A--E 5 个区段进行区别时，各区段的两端须要电压端子，计 6 个，应安装成 5 组。本方法中经常仅 2 组，且为非接触式测量，故由简单的配线就能完成，操作很方便。

4 结束语

本文阐述了有关利用“高温超导变压器的小型、轻量交流大电流的电源”和基于“非接触电压计测法的状态监视系统”。对于小型、轻量交流大电流电源，目前已能输出 500A 的电流，与市售的电源对比，可以制造尺寸、重量为 1/12 的电源。今后将扩展到 1KA 的目标。在状态监视系统中，达到了非接触的电压计测与电阻产生位置的同时确定，今后特别在位置同定方面，不仅比较电压的大小，而且要对数值差等进行研讨，实现进一步高分辨率化。

原文出处：七 戸 希，高温超電導変圧器を用いた小型・軽量交流電源およびその状態監視システムの開発，《电气评论》2016. 増刊 P59--63